



PERÚ

Ministerio
de la Producción



IMARPE
INSTITUTO DEL MAR DEL PERÚ

“Decenio de la Igualdad de Oportunidades para mujeres y hombres”
“Año del Bicentenario, de la consolidación de nuestra Independencia, y
de la conmemoración de las heroicas batallas de Junín y Ayacucho”

INFORME SOBRE EL PRONÓSTICO DE EFECTOS DE ENOS SOBRE LAS CONDICIONES OCEANOGRÁFICAS FRENTE A LA COSTA PERUANA EN BASE A FORZANTES DEL PACÍFICO ECUATORIAL Y SUDESTE

Marzo 2024

Carlos Quispe, Jorge Tam, Cinthia Arellano, Adolfo Chamorro, Dante Espinoza,
Carlos Yván Romero y Jorge Ramos

LABORATORIO DE MODELADO OCEANOGRÁFICO, ECOSISTEMICO Y DEL
CAMBIO CLIMÁTICO (LMOECC)

1. Resumen

Durante este último trimestre Enero-Febrero-Marzo (EFM) 2023-24, con menor intensidad en comparación con el trimestre anterior, persistieron condiciones térmicas cálidas en el ecosistema de afloramiento peruano asociadas al episodio El Niño 2023-24 en el Pacífico ecuatorial, con tendencia a la normalización.

Por otro lado, el área de afloramiento peruano se mantuvo con menor cobertura espacial y con alta concentración de clorofila. Mientras que, en la región sudoriental del océano Pacífico, el anticiclón del Pacífico Sur se mantuvo alrededor de sus condiciones normales.

Se espera una transición de las condiciones térmicas hacia condiciones neutras entre los meses abril y mayo que estaría asociada a la contribución conjunta de los arribos de las ondas Kelvin frías a Sudamérica y al debilitamiento del episodio El Niño 2023-24 en el Pacífico ecuatorial.

2. Indicadores oceanográficos y atmosféricos del Pacífico Sudeste.

Índice del APS (IAPS)

Se usó el Índice del APS (IAPS) para caracterizar la intensidad del Anticiclón del Pacífico Sur (APS), el cual se calculó mediante la media móvil trimestral de la anomalía de la presión atmosférica (hPa) mensual máxima en el núcleo del APS con datos de la base de datos Reanálisis NCEP/NOAA (Kalnay et al. 1996). El IAPS fue clasificado en 3 condiciones: débil, neutro e intenso (Fig. 1a). Durante el trimestre EFM 2024 el IAPS (+1) se mantuvo en una condición neutra.



BICENTENARIO
DEL PERÚ
2021 - 2024



Esquina Gamarra y General Valle s/n, Chucuito, Callao | Central telefónica: (051) 208 8650 | www.gob.pe/imarpe

Esta es una copia auténtica imprimible de un documento electrónico archivado en el Instituto del Mar del Perú, aplicando lo dispuesto por el Art. 25 de D.S. 070-2013-PCM y la Tercera Disposición Complementaria Final del D.S. 026-2016-PCM. Su autenticidad e integridad pueden ser contrastadas a través de la siguiente dirección web: www.imarpe.gob.pe/imarpe/validacion Clave:



PERÚ

Ministerio de la Producción



IMARPE
INSTITUTO DEL MAR DEL PERÚ

“Decenio de la Igualdad de Oportunidades para mujeres y hombres”
“Año del Bicentenario, de la consolidación de nuestra Independencia, y
de la conmemoración de las heroicas batallas de Junín y Ayacucho”

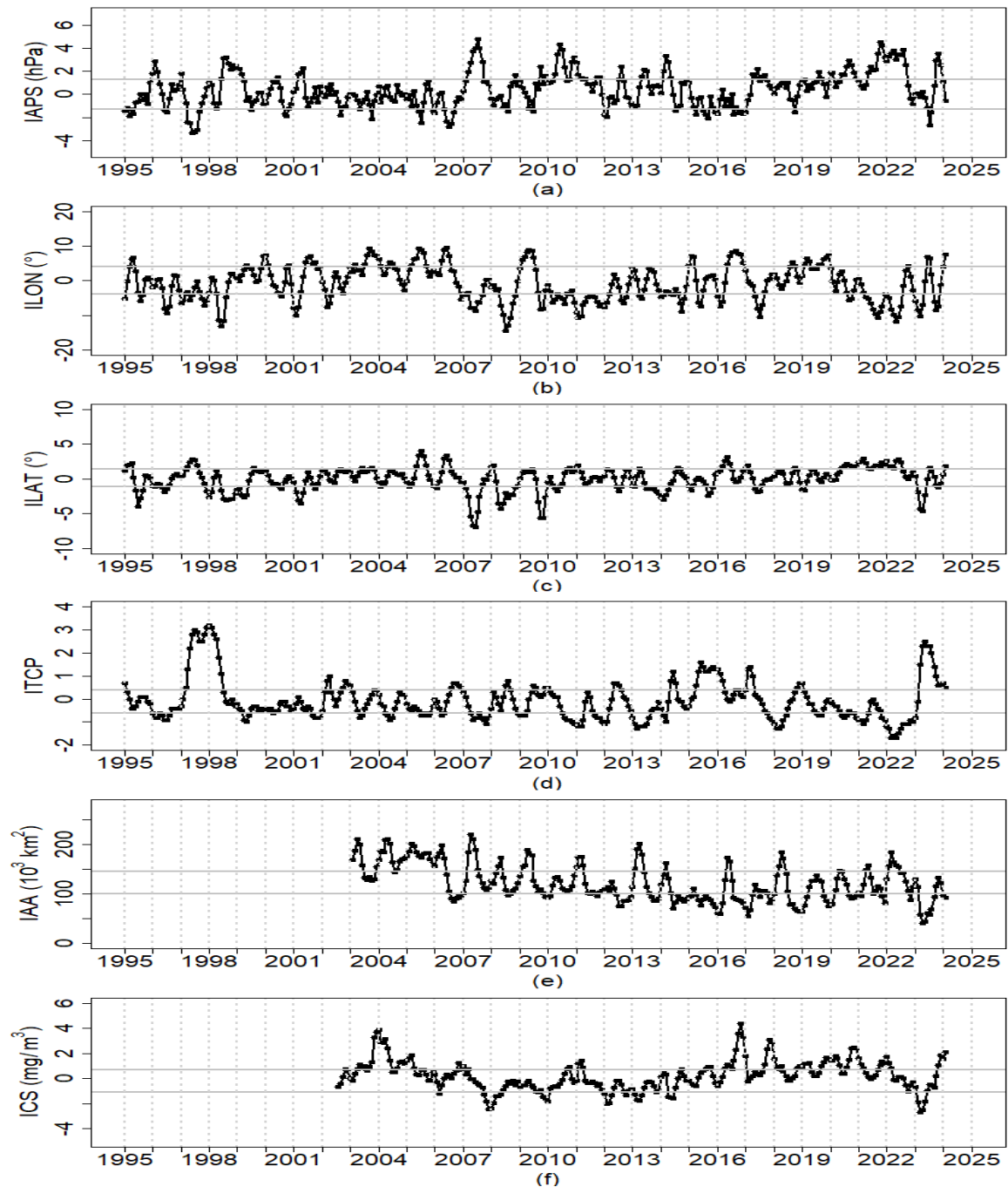


Figura 1. Variación interanual con datos actualizados hasta el mes de marzo del 2024 de: (a) Índice del APS (IAPS), (b) Índice de desplazamiento longitudinal del APS (ILON), (c) Índice de desplazamiento latitudinal del APS (ILAT), (d) Índice Térmico Costero Peruano (ITCP), (e) Índice del área de afloramiento (IAA) y (f) Índice de Clorofila a Superficial (ICS).



BICENTENARIO
DEL PERÚ
2021 - 2024



Esquina Gamarra y General Valle s/n, Chucuito, Callao | Central telefónica: (051) 208 8650 | www.gob.pe/imarpe

Esta es una copia auténtica imprimible de un documento electrónico archivado en el Instituto del Mar del Perú, aplicando lo dispuesto por el Art. 25 de D.S. 070-2013-PCM y la Tercera Disposición Complementaria Final del D.S. 026-2016-PCM. Su autenticidad e integridad pueden ser contrastadas a través de la siguiente dirección web: www.imarpe.gob.pe/imarpe/validacion Clave:



PERÚ

Ministerio
de la Producción



IMARPE
INSTITUTO DEL MAR DEL PERÚ

**“Decenio de la Igualdad de Oportunidades para mujeres y hombres”
“Año del Bicentenario, de la consolidación de nuestra Independencia, y
de la conmemoración de las heroicas batallas de Junín y Ayacucho”**

Índices de la posición del APS (ILON e ILAT)

Se usaron los índices de posición longitudinal (ILON) y latitudinal (ILAT) del APS para caracterizar la posición del núcleo del APS, los cuales se calcularon mediante la media móvil trimestral de las anomalías de la posición longitudinal y latitudinal de la presión atmosférica mensual máxima en el núcleo del APS con datos del Reanálisis NCEP/NOAA (Kalnay et al. 1996). Valores positivos (negativos) de los índices ILON (°) e ILAT (°) representan un desplazamiento al este y al norte (al oeste y al sur) del núcleo del APS, respectivamente. Durante el trimestre EFM 2024 los índices ILON e ILAT presentaron valores de +7.5 y +1.8 respectivamente, indicando que el núcleo del APS, en promedio, estuvo desplazado al noreste de su posición habitual (Fig. 1c y 1b).

Índice Térmico Costero Peruano (ITCP)

Se usó el Índice Térmico Costero Peruano (ITCP) (Quispe-CCalluari, et al. 2018) para caracterizar la variabilidad interanual oceánica frente a la costa peruana, el cual se calculó mediante la media móvil trimestral de la primera componente principal de las Anomalías de Temperatura Superficial del Mar (ATSM) de las aguas costeras a partir de la base de datos de Reynolds (2007), que explicó el 87.7 % de la varianza. El ITCP fue clasificado en 3 condiciones: frío, neutro y cálido (Fig.1d). El ITCP tiene que persistir al menos 3 trimestres consecutivos por arriba (abajo) del umbral para ser categorizado como un Periodo Cálido (Frío).

Durante el trimestre EFM 2024, el valor del ITCP (+0.5), en promedio, se mantuvo dentro del rango de las condiciones cálidas. En los últimos 12 trimestres consecutivos (entre FMA 2023 y EFM 2024) mantuvo valores positivos por encima del umbral, lo cual indica la continuación de la ocurrencia de un Periodo Cálido en el Ecosistema de Afloramiento Peruano. Por otro lado, el valor del Índice Oceánico de El Niño (ONI) fue +1.5°C en el trimestre EFM 2024, por noveno trimestre consecutivo, lo cual según criterio de la NOAA indica la ocurrencia de un episodio El Niño (NOAA, 2003, 2023) en el Pacífico ecuatorial.

Índice del área de afloramiento (IAA)

Se calculó el Índice del Área de Afloramiento (IAA) para caracterizar el área costera limitada por el frente térmico (en 10^3 km^2) entre los 05°S y 14°S en la franja de 300 km frente al litoral, y puede ser empleado como un indicador del avance o repliegue de las aguas del afloramiento costero. Este indicador ha sido desarrollado en base al frente térmico (Romero et al. 2014) construido a partir de datos de TSM satelital de nivel 4 (Multiscale UltraHigh Resolution MUR, JPL-NASA) a 1 km de resolución. El IAA fue clasificado en 3 condiciones: baja, media y alta. Durante el trimestre EFM 2024, el IAA presentó un valor asociado a la condición baja (92.7 km^2) lo que indicaría que la cobertura espacial de las aguas de afloramiento costero en promedio se ha mantenido reducido en comparación con el trimestre anterior (Fig. 1e).



BICENTENARIO
DEL PERÚ
2021 - 2024



Esquina Gamarra y General Valle s/n, Chucuito, Callao | Central telefónica: (051) 208 8650 | www.gob.pe/imarpe

Esta es una copia auténtica imprimible de un documento electrónico archivado en el Instituto del Mar del Perú, aplicando lo dispuesto por el Art. 25 de D.S. 070-2013-PCM y la Tercera Disposición Complementaria Final del D.S. 026-2016-PCM. Su autenticidad e integridad pueden ser contrastadas a través de la siguiente dirección web: www.imarpe.gob.pe/imarpe/validacion Clave:



PERÚ

Ministerio
de la Producción



IMARPE
INSTITUTO DEL MAR DEL PERÚ

“Decenio de la Igualdad de Oportunidades para mujeres y hombres”
“Año del Bicentenario, de la consolidación de nuestra Independencia, y
de la conmemoración de las heroicas batallas de Junín y Ayacucho”

Índice de Clorofila a Superficial (ICS)

Para el análisis de la clorofila-a superficial se utilizó información proveniente del satélite SeaWiFS (1997-2010) y del satélite MODIS corregido siguiendo la metodología de Demarcq y Benazzouz (2015) con una resolución espacial de 4 km dentro de los 100 km a la costa y los 4°S - 16°S. Se construyó una climatología tomando en cuenta información del 1998 al 2015 y se obtuvieron las anomalías promedio de la clorofila-a superficial ($\text{mg}\cdot\text{m}^{-3}$). El ICS se calculó como la media móvil trimestral de las anomalías promedio de la concentración de clorofila-a superficial ($\text{mg}\cdot\text{m}^{-3}$) mensualmente (Espinoza et al. en prep.). El ICS fue clasificado en 3 condiciones: baja, media y alta. Durante el trimestre EFM 2024, el ICS mantuvo su valor dentro de las condiciones altas (+2.09) (Fig. 1f).

3. Pronóstico de ondas Kelvin ecuatoriales y propagación de Ondas Atrapadas a la Costa

Con el fin de pronosticar la propagación de las Ondas Kelvin Ecuatoriales (OKE) hacia el Pacífico Oriental Ecuatorial y las Ondas Rossby (OR) hacia el Pacífico Occidental Ecuatorial, se simularon las ondas Kelvin y ondas Rossby en el Pacífico Tropical, siguiendo la metodología de Illig et al. (2004), Dewitte et al. (2002) y Quispe-Ccalluari et al. (2021), usando como forzante vientos NCEP actualizados hasta el 19 de abril 2024 (Kalnay et al. 1996). El pronóstico de las OKE hasta el 20 de junio 2024 se realizó con anomalías del esfuerzo del viento igual cero, y para el cálculo de las anomalías se usó el periodo 1991-2020. La correlación entre los valores de nivel del mar observado y pronosticado en el Pacífico Sudeste fue significativa ($r = 0.69$, $p < 0.05$) para el periodo 1993-2008 (Quispe et al. 2014). Se graficó la contribución de los modos baroclínicos 1 (flechas continuas) (Fig. 3) y modo 2 (flechas discontinuas) (Fig. 4) de las OR en 3°-5°S y OKE a las anomalías del nivel del mar (cm) en el Pacífico Ecuatorial y la contribución conjunta de los modos baroclínicos 1+2 de las OKE (Fig. 2). Los valores positivos corresponden a OKEs de hundimiento “cálidas” (flechas negras), y los valores negativos corresponden a OKEs de afloramiento “frías” (flechas blancas). Con el fin de mostrar al paso de Ondas Atrapadas a la Costa (OAC) de hundimiento “cálidas” (flechas negras) y afloramiento “frías” (flechas blancas) frente a la costa peruana asociadas a la llegada de las OKEs, se empleó las anomalías del nivel del mar satelital, filtradas frente a la costa peruana, obtenidas de la base de datos de Copernicus Marine Environment Monitoring Service (CMEMS).



BICENTENARIO
DEL PERÚ
2021 - 2024



Esquina Gamarra y General Valle s/n, Chucuito, Callao | Central telefónica: (051) 208 8650 | www.gob.pe/imarpe

Esta es una copia auténtica imprimible de un documento electrónico archivado en el Instituto del Mar del Perú, aplicando lo dispuesto por el Art. 25 de D.S. 070-2013-PCM y la Tercera Disposición Complementaria Final del D.S. 026-2016-PCM. Su autenticidad e integridad pueden ser contrastadas a través de la siguiente dirección web: www.imarpe.gob.pe/imarpe/validacion Clave:

**“Decenio de la Igualdad de Oportunidades para mujeres y hombres”
“Año del Bicentenario, de la consolidación de nuestra Independencia, y
de la conmemoración de las heroicas batallas de Junín y Ayacucho”**

Figura 2. Diagrama Hovmöller longitud-tiempo (izq.) de Ondas Kelvin Ecuatoriales simuladas (contribución conjunta de los modos baroclínicos 1+2 a las anomalías del nivel del mar en cm) en el Pacífico Ecuatorial (0°N). Se presentan las OKEs de hundimiento “cálidas” (flechas negras), las OKEs de afloramiento “frías” (flechas blancas), el inicio del pronóstico (línea horizontal discontinua). Diagrama Hovmöller (der.) de Ondas Atrapadas a la Costa observadas (Perú) en cm con el paso de OACs de hundimiento “cálidas” (flechas negras) y OACs de afloramiento “frías” (flechas blancas). La longitud de ambos diagramas no están a la misma escala.

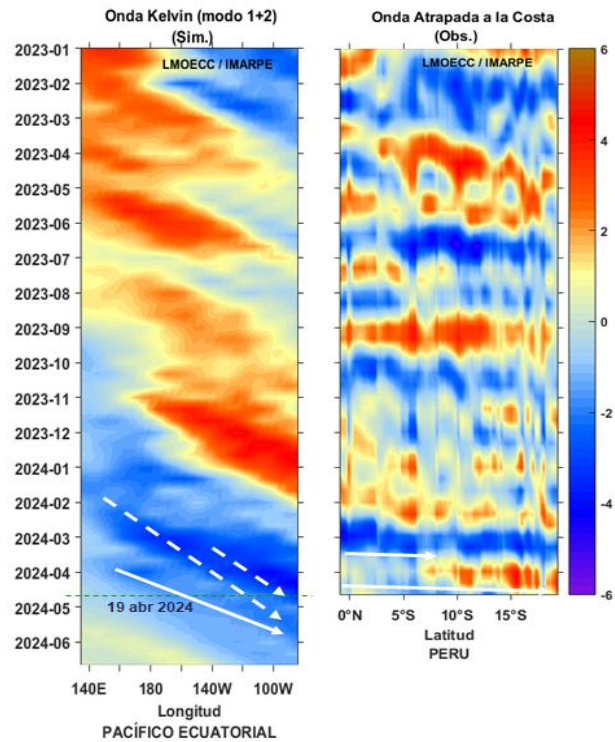
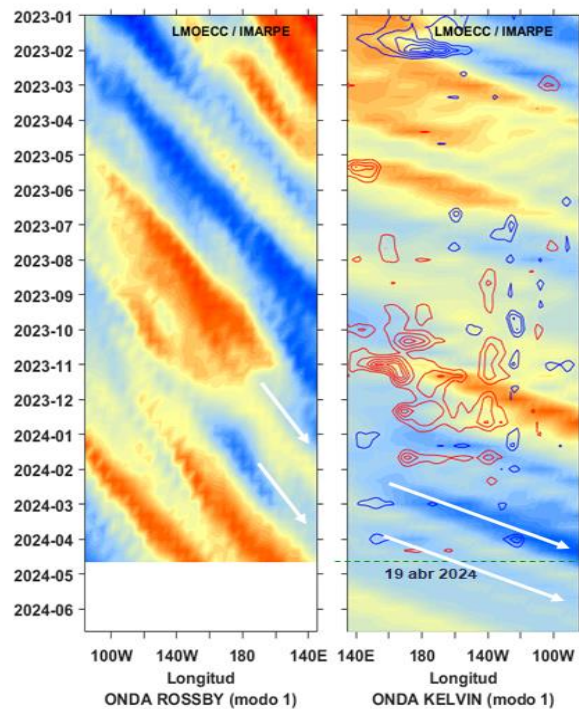
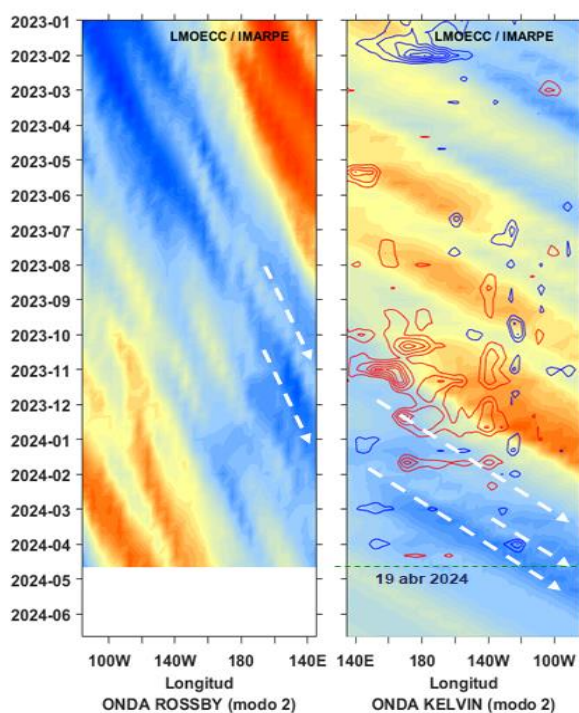


Figura 3. Diagrama Hovmöller longitud-tiempo de Ondas Rossby simuladas (3°-5°S) y de Ondas Kelvin Ecuatoriales simuladas de modo baroclínico 1 (líneas continuas) en el Pacífico Ecuatorial (0°N), anomalías positivas (contornos rojos) y negativas (contornos azules) del esfuerzo del viento zonal. La línea discontinua horizontal indica el inicio del pronóstico. Se presentan las ondas de hundimiento “cálidas” (flechas negras), y las ondas de afloramiento “frías” (flechas blancas).



“Decenio de la Igualdad de Oportunidades para mujeres y hombres”
“Año del Bicentenario, de la consolidación de nuestra Independencia, y
de la conmemoración de las heroicas batallas de Junín y Ayacucho”

Figura 4. Diagrama Hovmöller longitud-tiempo de Ondas Rossby simuladas (3° - 5° S) y de Ondas Kelvin Ecuatoriales simuladas de modo baroclínico 2 (líneas punteadas), en el Pacífico Ecuatorial (0° N), anomalías positivas (contornos rojos) y negativas (contornos azules) del esfuerzo del viento zonal. La línea discontinua horizontal indica el inicio del pronóstico. Se presentan las ondas de hundimiento “cálidas” (flechas negras) y las ondas de afloramiento “frías” (flechas blancas).



Según la simulación, una OKE fría (modo 2) arribó a Sudamérica en marzo (Fig. 4), y según el análisis frente a la costa de Perú, esta OKE fría se propagó a lo largo de la costa peruana como OAC fría en marzo 2024. Posteriormente, otra OKE fría (modo 1) arribó a Sudamérica en abril (Fig. 3), y según el análisis frente a la costa de Perú, esta OKE fría se propagó a lo largo de la costa peruana como OAC fría (Fig. 2).

Por otro lado, una OKE fría (modo 2) generada en el Pacífico ecuatorial central entre febrero y marzo, llegará a Sudamérica en abril (Fig. 4). Debido a la reflexión de una onda Rossby fría, en el Pacífico ecuatorial occidental, una OKE fría (modo 2) se generó y llegará a Sudamérica en mayo (Fig. 4). Cabe señalar, que debido a las anomalías de vientos del este observadas entre fines de marzo e inicios de abril en el Pacífico ecuatorial occidental, se generó una nueva OKE fría (modo 1) y llegará a Sudamérica entre mayo y junio 2024 (Fig. 3)

4. Pronóstico de efectos térmicos de ENOS sobre la costa peruana.

Con el fin de pronosticar los efectos del ENOS sobre la temperatura superficial del mar (TSM) frente a la costa peruana, representada por el índice ITCP, se utilizaron 2 modelos de simulación, basados en diferentes métodos matemáticos y estadísticos. En la Tab. 1 se comparan las características de cada modelo.



“Decenio de la Igualdad de Oportunidades para mujeres y hombres”
“Año del Bicentenario, de la consolidación de nuestra Independencia, y de la conmemoración de las heroicas batallas de Junín y Ayacucho”

Tabla 1. Características de los modelos de pronóstico de efectos de ENOS frente a la costa peruana.

Modelo	EMPIRICO	OCEANO-ATMOSFERA	PROBABILISTICO ESPACIAL
Variable pronosticada	ITCP	ITCP	ITCP
Variabes Predictoras	VAC e IAPS	Vientos NCEP	ONI
Método	Modelo empírico basado en el volumen de agua cálida ecuatorial	Modelo acoplado océano-atmósfera de complejidad intermedia	Modelo basado en tablas de contingencia
Relación funcional	Lineal	Lineal	Lineal
Horizonte de pronóstico	4 meses	4 meses	3 meses
Ventajas	Depende principalmente del comportamiento del volumen de agua cálida ecuatorial y de la intensidad del APS.	Depende de la interacción océano-atmósfera en el Pacífico Tropical.	Estima probabilidades espaciales
Desventajas	Alta variabilidad de las previsiones. Desfase funcional fijo.	Sensible a vientos del oeste.	Depende de la dinámica ecuatorial

Pronóstico del ITCP usando un modelo empírico

Se usó un modelo empírico basado en el volumen de agua cálida ecuatorial (VAC) (Matellini et al. 2007) con datos de las boyas TAO (TAO 2021) y en el Índice del Anticiclón del Pacífico Sur (IAPS) (Chamorro et al., en prep.) para realizar el pronóstico del ITCP para un horizonte de 4 meses.

La correlación entre los valores del ITCP simulados y observados fue significativa ($r = 0.6$, $p < 0.05$) para el período 1982-2011, y la mediana absoluta de los errores entre los datos simulados y observados fue de 0.41 (6.59% del rango de valores ITCP).

Los pronósticos del ITCP con el modelo empírico indican que sus valores alcanzarán condiciones fría del ITCP entre abril y mayo, posteriormente incrementaría hacia las condiciones neutras entre junio y julio 2024 (Tab. 2, Fig. 5). En este horizonte, el valor del ITCP simulado sería mínimo entre abril y mayo 2024 (Tab. 2).



PERÚ

Ministerio de la Producción



IMARPE
INSTITUTO DEL MAR DEL PERÚ

“Decenio de la Igualdad de Oportunidades para mujeres y hombres”
“Año del Bicentenario, de la consolidación de nuestra Independencia, y de la conmemoración de las heroicas batallas de Junín y Ayacucho”

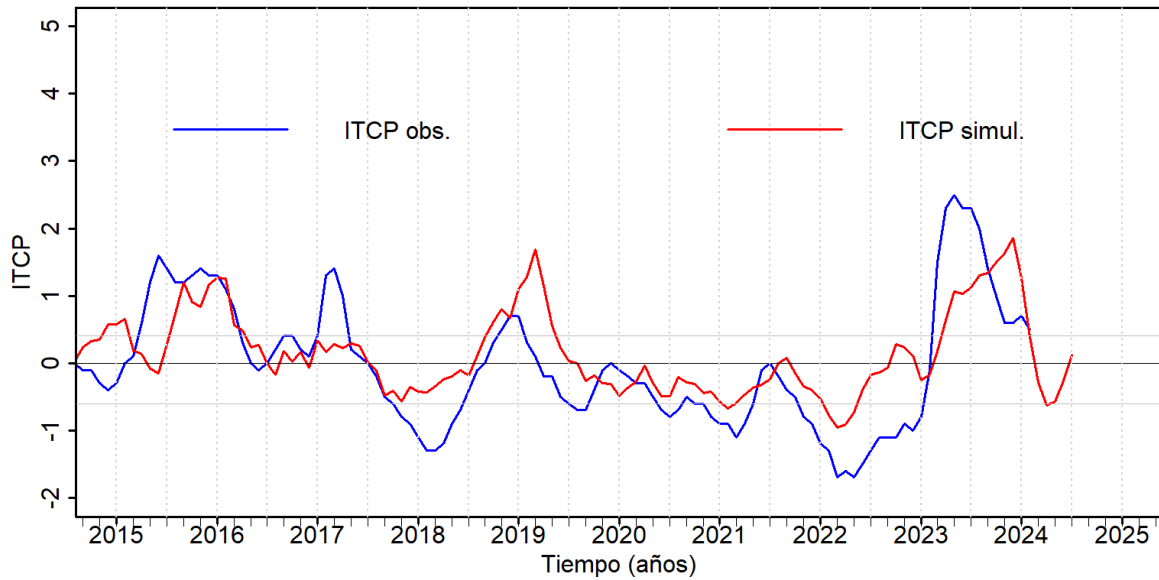


Figura 5. Pronóstico del ITCP mediante un modelo empírico, con datos actualizados hasta el mes de marzo del 2024.

Tabla 2. Condición mensual de los pronósticos del ITCP mediante un modelo empírico.

Mes / Año	ITCP simulada	Condición mensual
Abr-24	-0.6	Fría
May-24	-0.6	Fría
Jun-24	-0.3	Neutra
Jul-24	0.1	Neutra

Pronóstico del ITCP usando un modelo acoplado océano-atmósfera de complejidad intermedia.

Se usó un modelo acoplado océano-atmósfera de complejidad intermedia del Pacífico Tropical (Dewitte et al. 2002, Gushchina et al. 2000), usando un modelo atmosférico estadístico y una relación empírica entre la AN3.4 simulada y el ITCP, para realizar el pronóstico del ITCP para un horizonte de 4 meses.

Los pronósticos del ITCP, basados en la variación temporal de las condiciones del Pacífico Ecuatorial, indican que los valores del ITCP disminuirán dentro de las condiciones cálidas entre abril y julio 2024 (Tab. 3, Fig. 6). En este horizonte, el valor del ITCP simulado sería mínimo entre mayo y julio 2024 (Tab. 3).



BICENTENARIO DEL PERÚ
2021 - 2024





PERÚ

Ministerio de la Producción



IMARPE
INSTITUTO DEL MAR DEL PERÚ

“Decenio de la Igualdad de Oportunidades para mujeres y hombres”
“Año del Bicentenario, de la consolidación de nuestra Independencia, y
de la conmemoración de las heroicas batallas de Junín y Ayacucho”

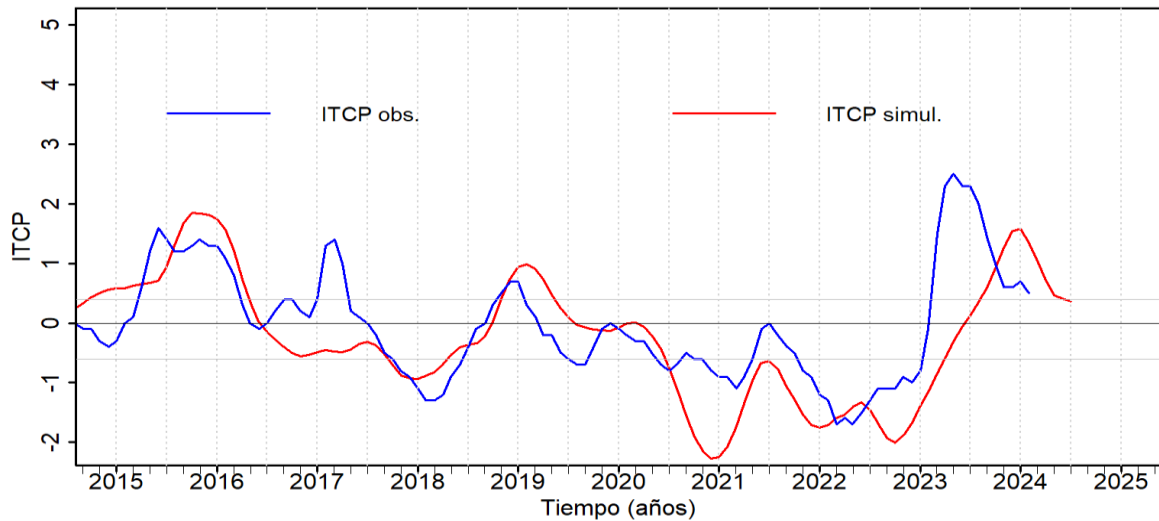


Figura 6. Pronóstico del ITCP mediante el modelo acoplado océano-atmósfera de complejidad intermedia con datos actualizados hasta el mes de marzo del 2024.

Tabla 3. Condición mensual de los pronósticos del ITCP mediante el modelo océano-atmósfera acoplado.

Mes / Año	ITCP simulada	Condición mensual
Abr-24	0.7	Cálida
May-24	0.5	Cálida
Jun-24	0.4	Cálida
Jul-24	0.4	Cálida

Pronóstico probabilístico espacial basado en tablas de contingencia (TC).

Se realizó un pronóstico probabilístico espacial de las condiciones térmicas (fría, neutra, cálida) en el área de afloramiento peruano (hasta las 45 mn aproximadamente), usando un modelo basado en tablas de contingencia (Alfaro et al. 2003), usando como variable independiente el índice Niño 3.4 (NOAA 2020) y como dependiente las anomalías de temperatura superficial del mar en el área de afloramiento peruano (Reynolds et al. 2007). Las probabilidades de las condiciones mensuales se definieron usando quintiles de las anomalías de las temperaturas superficiales del mar.

El modelo probabilístico basado en tablas de contingencia (TC) y bajo la condición de la región Niño 3.4, se actualizó hasta el mes de marzo 2024, e indicó que la condición neutra en el área costa norte-centro tiene una probabilidad del 51%, asimismo, en el área costa sur, la condición neutra tendrá una probabilidad del 57% en promedio para el trimestre Abril-Mayo-Junio (AMJ) 2024 (Fig. 7).



BICENTENARIO DEL PERÚ
2021 - 2024





PERÚ

Ministerio de la Producción



IMARPE
INSTITUTO DEL MAR DEL PERÚ

“Decenio de la Igualdad de Oportunidades para mujeres y hombres”
“Año del Bicentenario, de la consolidación de nuestra Independencia, y
de la conmemoración de las heroicas batallas de Junín y Ayacucho”

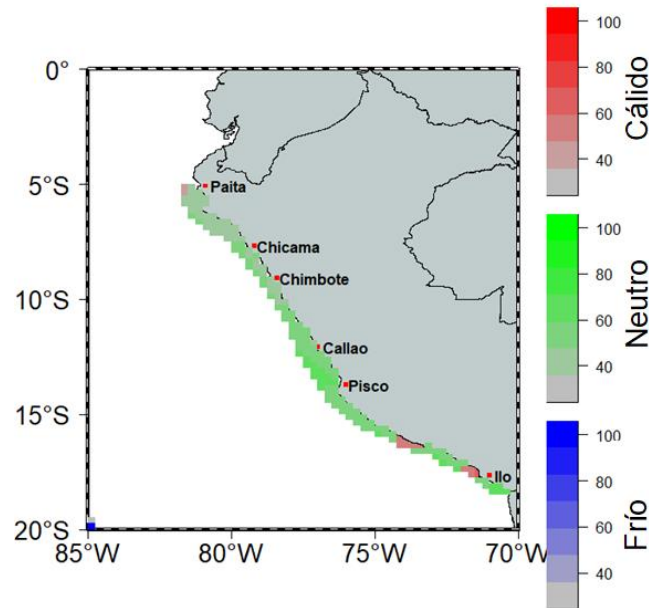


Figura 7. Pronóstico probabilístico espacial para el trimestre AMJ 2024 usando un modelo basado en tablas de contingencia.

5. Conclusiones

Respecto a los indicadores oceanográficos y atmosféricos del Pacífico Sudeste calculados con datos hasta marzo 2024, se observó que en promedio durante el trimestre EFM 2024, el Índice del Anticiclón del Pacífico Sur (IAPS) se mantuvo en una condición neutra y desplazado al noreste de su posición habitual, el Índice Térmico Costero Peruano (ITCP) mantuvo una condición cálida, el Índice del Área de Afloramiento (IAA) se mantuvo en una condición baja, y el Índice de Clorofila Superficial (ICS), se mantuvo en una condición alta.

El análisis frente a las costas del Perú hasta abril 2024, identificó la propagación de una OAC fría en marzo, debido a la llegada de una OKE fría (modo 2), posteriormente en abril, se identificó la propagación de otra OAC fría, debido a la llegada de otra OKE fría (modo 1). Por otro lado, en perspectivas, según la simulación de la propagación de las OKE, se espera la llegada a Sudamérica de una OKE fría (modo 2) en abril, una OKE fría (modo 2) en mayo, y otra OKE fría (modo 1) entre mayo y junio.

El pronóstico del Índice Térmico Costero Peruano (ITCP) usando el modelo empírico, basado en el volumen de agua cálida ecuatorial y el anticiclón del Pacífico Sur pronostica que los valores del ITCP presentarán una tendencia a disminuir hacia las condiciones frías entre abril y mayo 2024, posteriormente incrementaría hacia las condiciones neutras entre junio y julio. Mientras que, por otro lado, el modelo acoplado océano-atmósfera de complejidad intermedia, basado en forzantes del Pacífico Ecuatorial, también pronostica una tendencia a disminuir aun dentro de las condiciones cálidas del ITCP entre abril y julio 2024.



BICENTENARIO
DEL PERÚ
2021 - 2024





PERÚ

Ministerio
de la Producción



IMARPE
INSTITUTO DEL MAR DEL PERÚ

“Decenio de la Igualdad de Oportunidades para mujeres y hombres”
“Año del Bicentenario, de la consolidación de nuestra Independencia, y
de la conmemoración de las heroicas batallas de Junín y Ayacucho”

El presente informe se elabora con fines de investigación, por lo que es de carácter referencial, sin garantías sobre su uso posterior. El Comunicado Oficial de la Comisión multisectorial encargada del Estudio Nacional del Fenómeno El Niño (ENFEN) puede encontrarse en el siguiente enlace: <https://shorturl.at/luvDK>

6. Referencias bibliográficas

- Chen, D., Cane, M. A., Kaplan, A., Zebiak, S. E. & Huang, D. (2004). Predictability of El Niño over the past 148 years. *Nature*, 428: 733–736.
- Demarcq, H. and A. Benazzouz (2015), Trends in phytoplankton and primary productivity off Northwest Africa. In: *Oceanographic and biological features in the Canary Current Large Marine Ecosystem*. Valdés, L. and Déniz-González, I. (eds). *IOC-UNESCO, Paris. IOC Technical Series*, No. 115, pp. 331-341.
- Dewitte B., D. Gushchina, Y. duPenhoat and S. Lakeev, 2002: On the importance of subsurface variability for ENSO simulation and prediction with intermediate coupled models of the Tropical Pacific: A case study for the 1997-1998 El Niño. *Geoph. Res. Lett.*, vol. 29, no. 14, 1666, 10.1029/2001GL014452.
- Gushchina D. Yu, B. Dewitte and M. A. Petrossiants, 2000: A coupled ocean-atmosphere model of tropical Pacific: The forecast of the 1997-1998 El Niño Southern Oscillation. *Izvestiya atmospheric and oceanic physics*. 36(5): 533-554.
- Illig, S., B. Dewitte, N. Ayoub, Y. du Penhoat, G. Reverdin, P. De Mey, F. Bonjean and G.S.E. Lagerloef. 2004. Interannual long equatorial waves in the Tropical Atlantic from a high resolution OGCM experiment in 1981–2000, *J. Geophys. Res.* 109 (C2): C02022.
- Kalnay et al. 1996. The NCEP/NCAR 40-year reanalysis project, *Bull. Amer. Meteor. Soc.*, 77, 437-470.
- NOAA. 2003. NOAA gets U.S. consensus for El Niño/La Niña index, definitions. On-line: <http://www.noaanews.noaa.gov/stories/s2095.htm>.
- NOAA. 2023. CPC: Oceanic EL Niño Index. (10 Noviembre). On-line http://www.cpc.ncep.noaa.gov/products/analysis_monitoring/ensostuff/ensoyears.shtml
- Quispe-Ccalluari C, Tam J, Arellano C, Chamorro A, Espinoza-Morriberón D, Romero C, Ramos J. 2017. Desarrollo y aplicación de índices y simulaciones para la vigilancia y el pronóstico a mediano plazo del impacto del ENOS frente a la costa peruana. *Inf Inst Mar Peru*. 44:28-34.
- Quispe-Ccalluari, C., J. Tam, H. Demarcq, A. Chamorro, D. Espinoza-Morriberón, C. Romero, N. Dominguez, J. Ramos y R. Oliveros-Ramos. 2018. An index of coastal thermal effects of El Niño Southern Oscillation on the Peruvian Upwelling Ecosystem. *Int. J. Climatol.*:1-11. <https://doi.org/10.1002/joc.5493>.
- Quispe-Ccalluari, C., A. Chamorro, C. Arellano, y J. Tam. 2021. Propagación de ondas de Kelvin ecuatoriales y ondas atrapadas a la costa durante El Niño 2015-16 y El Niño costero 2017 frente a Perú: Simulaciones y Observaciones. *Boletín Instituto del Mar del Perú*, 36(2), 349–361. <https://doi.org/10.53554/boletin.v36i2.342>
- Reynolds, R. W., T. M. Smith, C. Liu, D. B. Chelton, K. S. Casey, and M. G. Schlax, 2007: Daily high-resolution blended analyses for sea surface temperature. *J. Climate*, 20, 5473-5496.
- Romero C, Chamorro A, Espinoza-Morriberon D, Tam J. 2014. Variación estacional e interanual de Indicadores de afloramiento frente a la costa central del Perú. p.191. *En: UPCH (Ed.). Libro de resúmenes del IV Congreso de Ciencias del Mar (IV CONCIMAR)*. 366 p.
- TAO (Tropical Atmosphere Ocean Project). 2018. Data Display. NOAA. Pacific Marine Environmental Laboratory. En línea: www.pmel.noaa.gov/tao/jsdisplay.
- Webster, P. J. & Yang, S, (1992). Monsoon and ENSO: Selectively Interactive Systems. *Quart. J. Roy. Meteor. Soc.*, 118(507): 877-926.



BICENTENARIO
DEL PERÚ
2021 - 2024



Esquina Gamarra y General Valle s/n, Chucuito, Callao | Central telefónica: (051) 208 8650 | www.gob.pe/imarpe

Esta es una copia auténtica imprimible de un documento electrónico archivado en el Instituto del Mar del Perú, aplicando lo dispuesto por el Art. 25 de D.S. 070-2013-PCM y la Tercera Disposición Complementaria Final del D.S. 026-2016-PCM. Su autenticidad e integridad pueden ser contrastadas a través de la siguiente dirección web: www.imarpe.gob.pe/imarpe/validacion Clave: